

บทที่ 2

ทฤษฎีและงานวิจัยที่เกี่ยวข้อง

2.1 การทบทวนวรรณกรรม

หลักการของเครื่องให้ความร้อนแบบเหนี่ยวนำคือทำให้กระแสไฟฟ้าความถี่สูงไหลผ่านชุดลวด ก่อให้เกิดสนามแม่เหล็กความถี่สูงตัดผ่านชิ้นงานและเหนี่ยวนำให้เกิดความร้อนขึ้นที่ชิ้นงานนั้น [1] ซึ่งการถ่ายเทพลังงานจากชุดมายังชิ้นงานจะเกิดขึ้นกับชิ้นงานที่เป็นตัวนำไฟฟ้าเท่านั้นโดยที่ชุดลวดและชิ้นงานไม่ต้องสัมผัสถกัน ทำให้ปลดภัยในการใช้งาน เครื่องให้ความร้อนแบบเหนี่ยวนานี้สามารถประยุกต์ใช้งานได้หลายอย่าง เช่น การเผาโลหะ การชุบแข็งโลหะ การเชื้อมโลหะ การหลอมโลหะ [2] หรือใช้เป็นเตาหุงต้ม

เครื่องให้ความร้อนแบบเหนี่ยวนำมีองค์ประกอบหลักอยู่ 3 อย่าง คือ

1) วงจรเรียงกระแส ซึ่งจะแปลงไฟฟ้ากระแสสลับให้เป็นไฟฟ้ากระแสตรง

2) วงจรอินเวอร์เตอร์ ทำหน้าที่แปลงไฟฟ้ากระแสตรงให้เป็นไฟฟ้ากระแสสลับความถี่สูง

3) โหลดรีโซแนนซ์ ประกอบไปด้วยตัวต้านทาน ตัวเก็บประจุ และตัวเหนี่ยวนำ โหลดรีโซแนนซ์ทำให้ความสูญเสียเนื่องจากการสวิตช์มีค่าลดลง ด้วยการทำให้แรงดันหรือกระแสไฟฟ้ามีค่าเป็นศูนย์ขณะเกิดการสวิตช์ [3]

ในระหว่างกระบวนการทำความร้อนของเครื่องให้ความร้อนแบบเหนี่ยวนำ เมื่ออุณหภูมิเปลี่ยนไปก็จะทำให้ค่าของโหลดเปลี่ยนไปด้วย [4] ดังนั้นจึงต้องมีวิธีการที่ใช้ควบคุมอินเวอร์เตอร์เพื่อกำหนดค่าความถี่ที่ต้องการให้เครื่องให้ความร้อนแบบเหนี่ยวนำมีประสิทธิภาพสูงสุด ซึ่งวิธีการควบคุมอินเวอร์เตอร์มีอยู่ด้วยกัน 3 แบบ คือ [5]

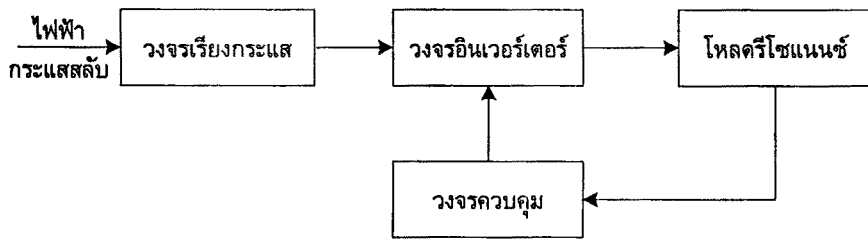
1) แบบปรับความถี่ วิธีนี้ใช้การปรับความถี่สวิตช์ของวงจรอินเวอร์เตอร์ เมื่อความถี่สวิตช์น้อยกว่าหรือมากกว่าความถี่รีโซแนนซ์ จะได้ปริมาณกระแสที่น้อย แต่เมื่อความถี่สวิตช์ซึ่งเท่ากับความถี่รีโซแนนซ์ จะได้กระแสที่มีปริมาณสูงสุด ดังนั้นกำลังไฟฟ้าจะมีค่าสูงสุดเมื่อความถี่สวิตช์ซึ่งเท่ากับความถี่รีโซแนนซ์และกำลังไฟฟ้าจะมีค่าลดลงเมื่อความถี่สวิตช์น้อยกว่าหรือมากกว่าความถี่รีโซแนนซ์

2) แบบปรับการเลื่อนเฟส วิธีนี้ใช้การปรับเปลี่ยนขนาดของแรงดันไฟฟ้าที่มีความถี่สูงทางด้านเอาร์พุตของอินเวอร์เตอร์ด้วยการเลื่อนเฟสของสัญญาณด้านหนึ่งของอินเวอร์เตอร์ให้ซ้อนกันเป็นบางส่วน กับสัญญาณอีกด้านหนึ่งของอินเวอร์เตอร์ โดยที่ความถี่สวิตช์จะมีค่าสูงขึ้นเล็กน้อยเพื่อให้อินเวอร์เตอร์ทำงานที่แรงดันไฟฟ้าเป็นศูนย์เสมอ เมื่อการเลื่อนเฟสเป็นศูนย์คงคา จะได้ปริมาณกระแสสูงสุด เมื่อการเลื่อนเฟสเพิ่มมากขึ้น กระแสจะลดลง

3) แบบ Pulse Density Modulation วิธีนี้ใช้การปรับเปลี่ยนขนาดของแรงดันไฟฟ้าที่มีความถี่สูงทางด้านเอาร์พุตของอินเวอร์เตอร์ด้วยการลดจำนวนลูกคลื่นของคลื่นสีเหลี่ยมของเอาร์พุตอินเวอร์เตอร์จากจำนวนมากไปหาน้อย เช่น จาก 16 ลูกคลื่น ไปจนถึง 1 ลูกคลื่น กระแสที่ไหลผ่านโหลดจะมีปริมาณมากที่สุด เมื่อปรับแรงดันเอาร์พุตของอินเวอร์เตอร์ให้มี 16 ลูกคลื่น และกระแสที่ไหลผ่านโหลดจะมีปริมาณลดลงเมื่อแรงดันเอาร์พุตของอินเวอร์เตอร์มีจำนวนลูกคลื่นลดลง

โดยทั่วไปอุปกรณ์ที่ใช้ในควบคุมอินเวอร์เตอร์ คือ ไอซีเฟสล็อกลูป ซึ่งจะทำหน้าที่ติดตามความถี่ของโหลดรีโซแนนซ์ที่เปลี่ยนไป และมีวงจรอิเล็กทรอนิกส์ที่จะปรับให้ความถี่สวิตช์มีค่าเท่ากับความถี่ของโหลดรีโซแนนซ์ [4] ปัจจุบันได้มีการศึกษาและพัฒนาเพื่อนำตัวประมวลผลสัญญาณดิจิตอลมาใช้ควบคุมเพื่อความสะดวกในการใช้งานมากขึ้น [6]

2.2 กรอบแนวความคิดของโครงการวิจัย



รูปที่ 2.1 ส่วนประกอบของเครื่องให้ความร้อนแบบเหนี่ยวนำ

เครื่องให้ความร้อนแบบเหนี่ยวนำที่จะทำการศึกษาและพัฒนามีองค์ประกอบหลัก 4 อย่าง ดังแสดงในรูปที่ 2.1 คือ

- 1) วงจรเรียงกระแส ซึ่งจะแปลงไฟฟ้ากระแสสลับให้เป็นไฟฟ้ากระแสตรง
- 2) วงจรอินเวอร์เตอร์ ทำหน้าที่แปลงไฟฟ้ากระแสตรงให้เป็นไฟฟ้ากระแสสลับความถี่สูง

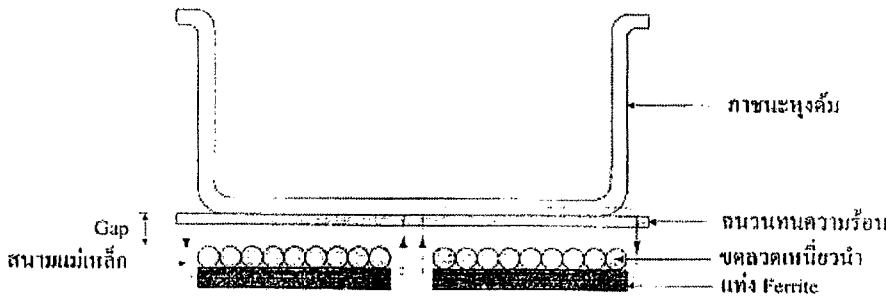
3) โหลดรีโซแนนซ์ ประกอบไปด้วยตัวต้านทาน ตัวเก็บประจุ และตัวเหนี่ยวนำ โหลดรีโซแนนซ์ทำให้ความสูญเสียเนื่องจากการสวิตช์มีค่าลดลง ด้วยการทำให้แรงดันหรือกระแสไฟฟ้ามีค่าเป็นศูนย์ขณะเกิดการสวิตช์

4) วงจรควบคุม ซึ่งจะใช้ตัวประมวลผลสัญญาณดิจิตอลเป็นส่วนประกอบหลัก โดยที่วงจรควบคุมจะรับสัญญาณกระแสไฟฟ้าและแรงดันไฟฟ้ามาจากโหลดรีโซแนนซ์เพื่อทำการวิเคราะห์และประมวลผล แล้วส่งสัญญาณควบคุมไปยังวงจรอินเวอร์เตอร์ซึ่งจะผลิตสัญญาณที่มีความถี่ใกล้เคียงกับความถี่ของโหลดรีโซแนนซ์เพื่อให้เครื่องให้ความร้อนแบบเหนี่ยวนำเกิดประสิทธิภาพสูงสุด

งานวิจัยนี้จะเริ่มต้นจากการศึกษาวงจรอินเวอร์เตอร์และโหลดรีโซแนนซ์แบบต่างๆ และวิธีควบคุม แล้วทำการจำลองในโปรแกรม PSPICE เพื่อเลือกวงจรที่เหมาะสม จากนั้นนำสัญญาณที่ได้จากการจำลองไปทดลองกับตัวประมวลผลสัญญาณดิจิตอล แล้วสร้างวงจรเรียงกระแส วงจรอินเวอร์เตอร์ และโหลดรีโซแนนซ์ เพื่อทดสอบกับตัวประมวลผลสัญญาณดิจิตอลอีกรอบหนึ่ง

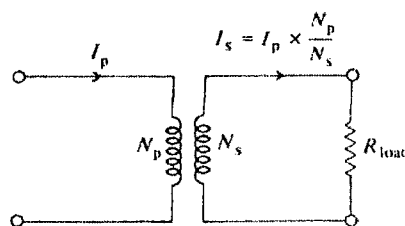
2.3 หลักการพื้นฐานของการให้ความร้อนแบบเหนี่ยวนำ

การให้ความร้อนแบบเหนี่ยวนำ (Induction Heating) เป็นปราบภารณ์ทั้งทางไฟฟ้าและทางความร้อน รวมกัน โดยมีสาเหตุจากการเหนี่ยวนำของคลื่นแม่เหล็กไฟฟ้า (Electromagnetic Induction) ปราบภารณ์ผิว (Skin Effect) และการถ่ายเทความร้อน (Heat Transfer) [7] หลักการให้ความร้อนแบบเหนี่ยวนำ จากรูปที่ 2.2 เมื่อป้อนไฟฟ้ากระแสสลับความถี่สูงผ่านเข้าสู่ชุดลวดเหนี่ยวนำที่อยู่ใต้ภาชนะหุงต้ม ก่อให้เกิดสนามแม่เหล็กเกี่ยวกล้อง (Magnetic Flux) กับภาชนะหุงต้ม ถ้าภาชนะเป็นโลหะที่มีคุณสมบัติเป็นสาร Ferro-Magnetic สนามแม่เหล็กที่เกี่ยวกล้องกับภาชนะจะทำให้เกิดกระแสไฟลุวน (Eddy Current) ในภาชนะหุงต้มเป็นเส้นทางปิด ทำให้เกิดการสูญเสียเนื่องจากการกระแสไฟลุวน ซึ่งกระแสส่วนมากจะไหลผ่านภาชนะในบริเวณความลึกกระดับผิว (Skin Depth) ของภาชนะ เป็นผลให้เกิดความร้อนขึ้นที่ก้นของภาชนะหุงต้ม และจะถ่ายเทความร้อนไปยังน้ำที่อยู่ภายใต้ภาชนะ ทำให้น้ำเดือดในที่สุด [5] ปริมาณความร้อนที่เกิดขึ้นนี้ขึ้นอยู่กับปริมาณกระแสที่เหนี่ยวนำ และความต้านทานสมมูลของภาชนะที่กระแสไฟลุวน [7]



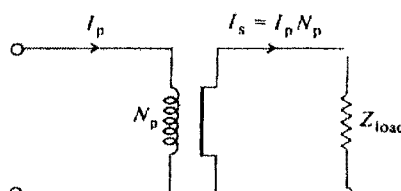
รูปที่ 2.2 หลักการให้ความร้อนแบบเหนี่ยวนำของเตาหุงต้ม [5]

การให้ความร้อนแบบเหนี่ยวนำนี้ ความร้อนจะเกิดขึ้นที่ภาชนะโดยตรง โดยอาศัยกระแสไฟฟ้าในภาชนะหุงต้ม ทำให้หุงต้มได้ในเวลาอันรวดเร็ว [5] โดยจะมีหลักการพิจารณาเหมือนกับหม้อแปลงไฟฟ้าที่ประกอบไปด้วยขดลวดปฐมภูมิและขดลวดทุติยภูมิ ซึ่งกระแสทุติยภูมิจะขึ้นอยู่กับกระแสด้านปฐมภูมิคูณกับอัตราส่วนจำนวนรอบของหม้อแปลงดังรูปที่ 2.3



รูปที่ 2.3 วงจรสมมูลของหม้อแปลงไฟฟ้าทั่วไป [7]

ถ้าพิจารณาการให้ความร้อนแบบเหนี่ยวนำกับขดลวดทรงก้นหอยที่มีชิ้นงานโลหะอยู่เหนือขดลวด เหนี่ยวนานี้ซึ่งจะถูกเหนี่ยวนำให้เกิดความร้อนขึ้น และถ้าเปรียบเทียบระบบเป็นเสมือนหม้อแปลง จะได้ว่าขดลวด เหนี่ยวนานี้จะเป็นเสมือนขดลวดปฐมภูมิของหม้อแปลง ที่มีจำนวนรอบเท่ากับจำนวนรอบของขดลวด เหนี่ยวนาน และชิ้นงานโลหะเปรียบเสมือนขดลวดด้านทุติยภูมิของหม้อแปลงที่มีจำนวนรอบเป็นหนึ่งรอบ [7] สามารถเขียนเป็นวงจรสมมูลได้ดังรูปที่ 2.4



รูปที่ 2.4 วงจรสมมูลของขดลวดเหนี่ยวนำกับชิ้นงานโลหะ [7]

- โดยที่ I_p คือ กระแสที่ป้อนเข้าในขดลวดเหนี่ยวนำ
- I_s คือ กระแสที่หล่อผ่านชิ้นงานโลหะ
- N_p คือ จำนวนรอบของขดลวดเหนี่ยวนำ
- Z_{load} คือ ความต้านทานสมมูลของชิ้นงาน

พิจารณารูปที่ 2.4 ถ้า I_p เป็นกระแสไฟฟ้าที่ไหลผ่านชุดลวดเหนี่ยวนำ ซึ่งเป็นสาเหตุให้เกิดการเหนี่ยวนำกระแสไฟฟ้า I_s ไหลวนอยู่ในชิ้นงาน จากกฎความสัมพันธ์ของแม่เหล็กไฟฟ้า จะทำให้กระแสทั้งสองมีความสัมพันธ์กันดังนี้

$$I_s = N_p I_p \quad (2.1)$$

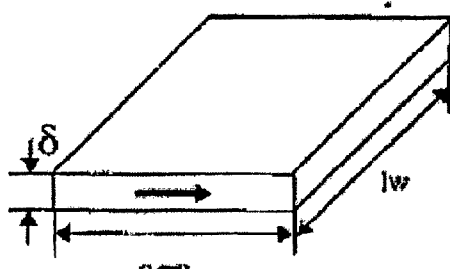
กำลังสูญเสียเป็นความร้อนในชิ้นงานจะมีค่าเท่ากับ

$$P_w = I_s^2 R_w \quad (2.2)$$

แทนค่า (2.1) ลงใน (2.2) จะได้

$$P_w = N_p^2 I_p^2 R_w \quad (2.3)$$

โดยที่ R_w คือ ความต้านทานสมมูลของชิ้นงาน



รูปที่ 2.5 แผ่นคลี่ของชิ้นงาน [8]

ถ้าหากพิจารณาว่ากระแสส่วนมากไหลอยู่ในระดับความลึกผิว จะสามารถหาความต้านทานสมมูลของชิ้นงานได้โดยการพิจารณาคลี่ชิ้นงานออก จะเป็นดังรูปที่ 2.5 ซึ่งระบบทางการไหลของกระแสมีค่าเท่ากับขนาดเส้นรอบวงของชิ้นงานที่มีความหนาเท่ากับความลึกผิว [7]

ความร้อนส่วนมากจะเกิดขึ้นโดยกระแสไฟ流ในโอลด์กาชันะหุงต้มที่บริเวณชั้นผิวนอกของก้นกาชันะหุงต้มที่มีความลึกผิวเท่ากับ δ ซึ่งมีความสัมพันธ์กับพารามิเตอร์ของกาชันะหุงต้มดังสมการ [8]

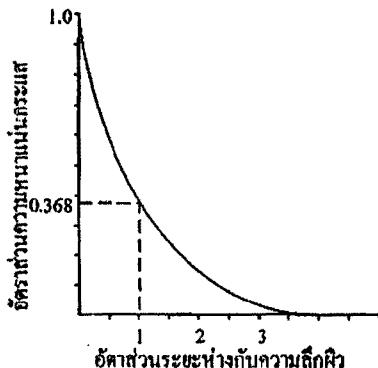
$$\delta = \sqrt{\frac{\rho}{\mu f \pi}} \quad (2.4)$$

โดยที่ δ คือ ความลึกผิว (m)

ρ คือ ค่าความต้านทานนำEDA ของกาชันะ (Ωm)

f คือ ความถี่ไฟฟ้ากระแสสลับที่ป้อน (Hz)

μ คือ ค่าความซึมซาบต่อฟลักซ์แม่เหล็กของชิ้นงาน



รูปที่ 2.6 ความสัมพันธ์ระหว่างความหนาแน่นกระแสและอัตราส่วนของความถี่กับความถี่共振 [8]

เนื่องจากประวัติการณ์ผิว จึงทำให้ความหนาแน่นกระแสสอดคล้องกับระดับความถี่กับความถี่共振 เป็นพังก์ชันเอกซ์โพเนนเชียลที่ความถี่จะลดลงเมื่อเพิ่มความถี่ ความหนาแน่นของกระแสจะมีค่าเพียง 0.368 เท่าของความหนาแน่นกระแสที่ผิวชั้นงาน จึงประมาณว่ากระแสส่วนมากจะไหลอยู่ในความถี่共振 [7]

2.4 วงจรรีโซแนนซ์ [9]

วงจรไฟฟ้ากระแสสลับที่เกิดสภาพรีโซแนนซ์ (Resonant) หมายถึง วงจรที่มีค่าเพาเวอร์เฟคเตอร์ของวงจรเท่ากับหนึ่ง นั่นคือกระแสที่ไหลในวงจรจะมีเฟสตรงกันกับแรงดันที่จ่ายให้แก่วงจร และค่าอิมพีเดนซ์ของวงจรจะเหลือแต่ความต้านทานเพียงอย่างเดียวเท่านั้น เพราะค่าอินดักทีฟรีแอคเคนซ์ (Inductive Reactance) และค่าคากปาร์ซิทิกฟรีแอคเคนซ์ (Capacitive Reactance) จะหักล้างกันหมดไป ในขั้นพื้นฐานจะสามารถแยกพิจารณาออกเป็น 2 ลักษณะคือวงจรรีโซแนนซ์แบบอนุกรม และวงจรรีโซแนนซ์แบบขนาน

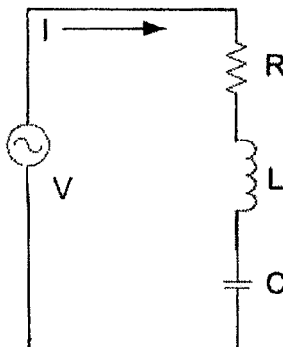
2.4.1 วงจรรีโซแนนซ์แบบอนุกรม

ลักษณะพฤติกรรมทางไฟฟ้าของวงจรรีโซแนนซ์แบบอนุกรมจะมีอิมพีเดนซ์ที่ต่ำแห่งรีโซแนนซ์ต่ำที่สุด ดังนั้นจะทำให้กระแสไหลผ่านวงจรได้มากที่สุด จึงทำให้เกิดกำลังไฟฟ้าที่โหลดสูงสุด วิธีการควบคุมกำลังไฟฟ้าทำได้โดยการลดหรือเพิ่มแรงดันที่จ่ายให้วงจร หรือเลื่อนความถี่การใช้งานให้ต่ำหรือสูงกว่า ต่ำแห่งรีโซแนนซ์ เมื่อพิจารณาในรูปที่ 2.7 ค่าอิมพีเดนซ์ของวงจร RLC ที่ต่อแบบอนุกรมจะมีค่าเท่ากับ

$$Z = R + j(X_L - X_C) \quad (2.5)$$

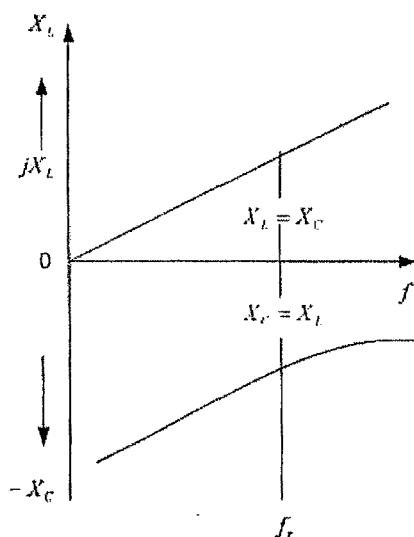
จะสามารถหาค่าความถี่สภาวะรีโซแนนซ์ f_r ได้ดังนี้

$$\begin{aligned} X_L &= X_C \\ 2\pi f_r L &= \frac{1}{2\pi f_r C} \\ f_r &= \frac{1}{2\pi\sqrt{LC}} \end{aligned} \quad (2.6)$$



รูปที่ 2.7 วงจร RLC แบบอนุกรม [9]

จากสมการ (2.5) จะพบว่าค่าอิมพีเดนซ์จะขึ้นอยู่กับความถี่ของแหล่งจ่ายไฟ เนื่องจากค่า $X_L = 2\pi fL$ และค่า $X_C = 1/2\pi fC$ จากรูปที่ 2.8 จะเห็นว่าเมื่อความถี่ของแหล่งจ่ายไฟมีค่าเพิ่มขึ้นอย่างเป็นเชิงเส้นค่า X_L จะมีค่าเพิ่มขึ้น ส่วนของค่า X_C จะมีค่าลดลงอย่างเป็นเชิงเส้นด้วยโดยที่ผลรวมของค่ารีแอคเตนซ์มีค่าเท่ากัน $(X_L - X_C)$ ดังนั้นถ้าหากความถี่ของแหล่งจ่ายไฟมีค่าเท่ากับความถี่รีโซแนนซ์ตั้งสมการ (2.6) ก็จะมีผลทำให้ค่ารีแอคเตนซ์รวมมีค่าเท่ากับศูนย์ ดังนั้นอิมพีเดนซ์รวมของวงจรจึงมีค่าเท่ากับความต้านทาน ($Z = R$)

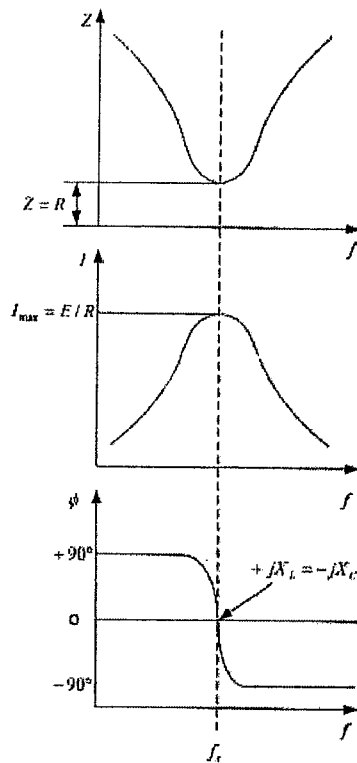


รูปที่ 2.8 ความสัมพันธ์ของ X_L และ X_C ต่อความถี่สำหรับวงจร RLC แบบอนุกรม [9]

$$|Z| = \sqrt{R^2 + X^2} \quad (2.7)$$

$$I = \frac{V}{Z} \quad (2.8)$$

จากสมการที่ (2.7) และสมการที่ (2.8) นำค่าอิมพีเดนซ์รวมและกระแสที่ไหลในวงจรที่ความถี่ใดๆ มาเขียนกราฟได้ดังรูปที่ 2.9 ซึ่งจะเห็นได้ว่าที่ความถี่รีโซแนนซ์จะได้ค่าอิมพีเดนซ์รวมของวงจรเท่ากับค่าความต้านทานเนื่องจากผลรวมของค่ารีแอคเตนซ์มีค่าเท่ากับศูนย์ และทำให้เกิดกระแสไฟฟ้าที่ไหลในวงจรสูงสุดในจุดนี้



รูปที่ 2.9 อิมพีเดนซ์รวม และกระแสแท้ไฟฟ้าในวงจร RLC แบบอนุกรม ที่ความถี่ต่างๆ [9]

ค่าของแรงดันที่ตกคร่อมตัวต้านทาน ตัวเหนี่ยวนำและตัวเก็บประจุที่ความถี่ใดๆ ดังแสดงสมการที่ (2.9) ที่ความถี่ใช้แนวโน้มพบร่วมกัน V_L และ V_C จะกลับเฟสกันอยู่ 180 องศา และแรงดัน V_R จะมีค่ามากที่สุด (แรงดัน V_L และ V_C หักล้างกันมีค่าเป็นศูนย์) แสดงว่าที่สภาวะรีโซแนนซ์จะไม่มีพลังงานสะสม

$$V_R = IR; V_L = IX_L; V_C = IX_C \quad (2.9)$$

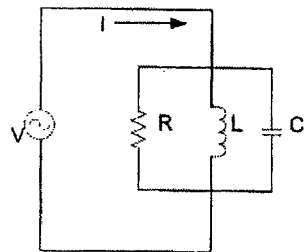
2.4.2 วงจรรีโซแนนซ์แบบขานาน

พิจารณาในรูปที่ 2.10 จะพบว่า วงจรเกิดสภาวะรีโซแนนซ์ได้ก็ต่อเมื่อ capacitor ที่ฟรัชเชพแทนซ์ (Capacitive Susceptance) มีค่าเท่ากับอินดักตีฟรัชเชพแทนซ์ (Inductive Susceptance) หรือ $B_C = B_L$ ดังนั้นค่าแอดมิตแทนซ์ (Admittance) ของวงจรจะน้อยที่สุด หรือกล่าวได้ว่ามีแต่ค่าความนำเท่านั้น ดังแสดงในสมการที่ (2.11)

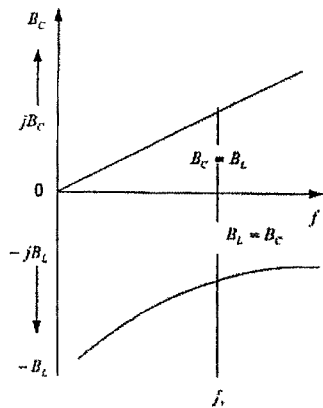
$$Y = G + j(B_C - B_L) \quad (2.10)$$

เมื่อ $B_C = B_L$ จะได้

$$Y = G = \frac{1}{R} \quad (2.11)$$

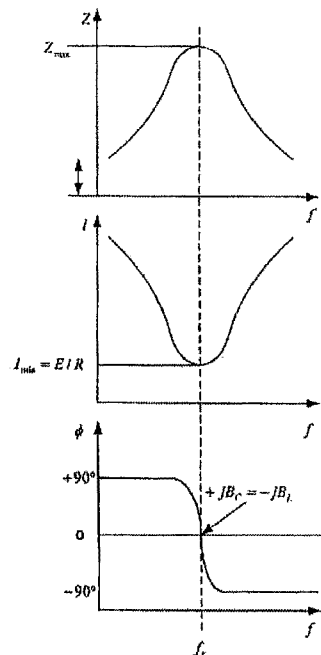


รูปที่ 2.10 วงจร RLC แบบขานาน [9]



รูปที่ 2.11 ความสัมพันธ์ของ B_C และ B_L ต่อความถี่สำหรับวงจร RLC แบบขานาน [9]

เมื่อนำค่าอิมพีเดนซ์รวมและกระแสที่ไหลในวงจร RLC แบบขานานที่ความถี่ได้ๆ มาเขียนกราฟจะได้ดังรูปที่ 2.12



รูปที่ 2.12 อิมพีเดนซ์รวม และกระแสที่ไหลในวงจร RLC แบบขานาน ที่ความถี่ต่างๆ [9]

เมื่อเกิดสภาวะรีโซแนนซ์ขึ้นในวงจร RLC แบบขนาด กระแสกั้งหมดที่ไฟลในวงจรจะมีค่าเท่ากับกระแสที่ไฟลผ่านความต้านทานเพียงอย่างเดียว ส่วนกระแสที่ไฟลผ่านตัวเก็บประจุและตัวเหนี่ยวนำจะหักล้างกันหมดไป ดังนั้นกระแสที่ไฟลผ่านตัวเหนี่ยวนำและตัวเก็บประจุจะมีค่ามากกว่ากระแสที่ไฟลในวงจรมากกว่าเท่ากัยอมเป็นไปได้ แต่สุดท้ายค่ากระแสที่ไฟลในวงจรจะเท่ากับกระแสที่ไฟลผ่านความต้านทาน

ตารางที่ 2.1 เปรียบเทียบข้อดีและข้อเสียของวงจรรีโซแนนซ์แบบอนุกรมและแบบขนาด

วงจรรีโซแนนซ์	ข้อดี	ข้อเสีย
แบบอนุกรม	<ul style="list-style-type: none"> - โครงสร้างง่ายและราคาถูก - สามารถจ่ายกำลังไฟฟ้าดีชีตได้โดยตรงจากวงจรได้โดยเด็ดขาด - กำลังไฟฟ้าที่จ่ายสามารถควบคุมได้ง่ายโดยการปรับความถี่ที่อินเวอร์เตอร์ 	<ul style="list-style-type: none"> - ขณะที่ป้อนสัญญาณเพื่อขับวงจร อินเวอร์เตอร์ จะเปิดวงจรไฟลต์ไม่ได้ - ไม่สามารถทนการลัดวงจรที่ไฟลต์ได้ - ควบคุมกำลังไฟฟ้าโดยการปรับความถี่สวิตช์ให้เลื่อนห่างออกจากความถี่รีโซแนนซ์ ทำให้กระแสไม่ค่อยเป็นไซน์ซึ่งเป็นผลให้มีการมอนิกส์เกิดขึ้น
แบบขนาด	<ul style="list-style-type: none"> - ขณะที่ป้อนสัญญาณเพื่อขับวงจร อินเวอร์เตอร์ สามารถเปิดวงจรไฟลต์ได้ - สามารถทนการลัดวงจรที่ไฟลต์ได้ - อุปกรณ์ L และ C ที่ใช้ในวงจรรีโซแนนซ์ไม่จำเป็นต้องมีพิกัดแรงดันสูง เนื่องจากกระแสเป็นรูปสี่เหลี่ยม จึงมีค่า Peak คงที่ที่ต่ำกว่ารีโซแนนซ์ 	<ul style="list-style-type: none"> - ไม่สามารถจ่ายกำลังไฟฟ้าดีชีตได้โดยตรงจากวงจรได้โดยเด็ดขาด เนื่องจากการใช้สวิตช์ควบคุม - จำเป็นต้องมี Choke เนื่องจากเป็น Constant Current - มีขนาดใหญ่ เนื่องจากมี Choke และวงจรควบคุมแรงดันดีชีตซึ่งอินพุตให้กับอินเวอร์เตอร์

โครงการวิจัยนี้เลือกใช้วงจรรีโซแนนซ์แบบอนุกรม เนื่องจากโครงสร้างง่าย ราคาถูก และสามารถปรับควบคุมได้ง่าย

2.5 กำลังไฟฟ้าสูงสุดของวงจร [9]

ในหัวข้อนี้จะพิจารณาถึงการเปลี่ยนแปลงของกำลังไฟฟ้าเฉลี่ยที่คิดจากหนึ่งคบของวงจร RLC ที่ต่อ กันแบบอนุกรมกับแหล่งจ่ายแรงดันไฟฟ้าที่แปรผันตามเวลาแบบเส้นกราฟของไซน์ โดยที่กำลังไฟฟ้าเฉลี่ยมีค่าเท่ากัน

$$P_{av} = I_{rms} V_{rms} \cos \phi \quad (2.12)$$

แทน $I_{rms} = \frac{V_{rms}}{Z}$ และ $\cos \phi = \frac{R}{Z}$ จะได้ว่า

$$P_{av} = \frac{V_{rms}}{Z} V_{rms} \frac{R}{Z} \quad (2.13)$$

$$P_{av} = \frac{V_{rms}^2}{Z^2} R \quad (2.14)$$

และเมื่อแทน

$$Z = \sqrt{R^2 + \left(\omega L - \frac{1}{\omega C} \right)^2} \quad (2.15)$$

จะได้ว่า

$$P_{av} = \frac{V_{rms}^2 R}{R^2 + \left(\omega L - \frac{1}{\omega C} \right)^2} \quad (2.16)$$

ปรับรูปสมการใหม่ได้เป็น

$$P_{av} = \frac{V_{rms}^2 R}{R^2 + L^2 \left(\omega - \frac{1}{\omega LC} \right)^2} \quad (2.17)$$

คูณด้วย $\frac{\omega^2}{\omega^2}$ จะได้

$$P_{av} = \frac{V_{rms}^2 R \omega^2}{R^2 \omega^2 + L^2 \left(\omega^2 - \frac{1}{LC} \right)^2} \quad (2.18)$$

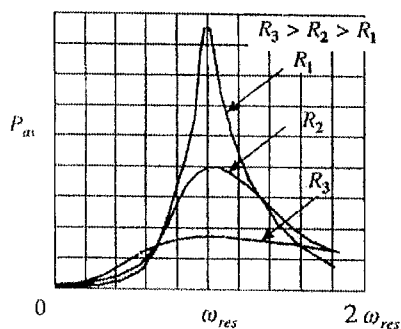
แทน $\frac{1}{LC} = \omega_{res}^2$ จะได้

$$P_{av} = \frac{V_{rms}^2 R \omega^2}{R^2 \omega^2 + L^2 \left(\omega^2 - \omega_{res}^2 \right)^2} \quad (2.19)$$

ปรับรูปสมการใหม่ได้เป็น

$$P_{av} = \frac{V_{rms}^2 R}{R^2 + L^2 \omega^2 \left(1 - \frac{\omega_{res}^2}{\omega^2} \right)^2} \quad (2.20)$$

ถ้าเขียนกราฟพังก์ชันของ P_{av} เป็นพังก์ชันของ ω จะได้เส้นกราฟตามที่แสดงในรูปที่ 2.13 ซึ่งให้เส้นกราฟที่ค่าความต้านทานต่างๆ กัน 3 ค่า คือ R_1 , R_2 และ R_3 และกำหนดให้ $R_3 > R_2 > R_1$



รูปที่ 2.13 กำลังไฟฟ้าเฉลี่ยที่ค่า ω ต่างๆ กัน [9]

จะเห็นได้ว่าที่ความถี่ที่ใกล้กับ 0 หรือในกรณีที่ $\frac{\omega_{res}^2}{\omega^2} >> 1$ จะทำให้อิมพีเดนซ์ของระบบมีค่าสูง และกำลังไฟฟ้าเฉลี่ยมีค่าต่ำ แต่เมื่อความถี่มีค่าเพิ่มมากขึ้นจนทำให้ค่า $\frac{\omega_{res}^2}{\omega^2} \approx 1$ จะทำให้ค่าอิมพีเดนซ์ของระบบมีค่าต่ำ ลดต่ำลง จึงทำให้ค่ากำลังไฟฟ้าเฉลี่ยมีค่าเพิ่มสูงมากขึ้น จนกระทั่งค่า $\frac{\omega_{res}^2}{\omega^2} = 1$ ซึ่งเป็นสภาวะที่ระบบเกิดสภาพาร์โซแนล อันเป็นผลทำให้ค่าอิมพีเดนซ์รวมของระบบมีค่าต่ำสุดและองค์ประกอบของระบบจะเหลือเพียงค่าความต้านทานทางไฟฟ้าเพียงตัวเดียวเท่านั้น ผลที่ตามมาคือระบบเกิดกระแสไฟฟ้าใหม่มากที่สุดและเกิดเป็นค่ากำลังไฟฟ้ามากที่สุดด้วย จากที่ผ่านมาทำให้ทราบว่าที่สภาวะริโซแนลนั้น กำลังไฟฟ้าสูงสุดที่เกิดขึ้นมีค่าเท่ากัน

$$(P_{av})_{max} = \frac{V_{rms}^2}{R} \quad (2.21)$$

และเมื่อ ω มีค่าเพิ่มมากขึ้นหรือค่า $\frac{\omega_{res}^2}{\omega^2}$ เริ่มมีค่าต่ำกว่า 1 ไปเรื่อยๆ ค่ากำลังไฟฟ้าเฉลี่ยจะมีค่าลดลง ข้อสังเกตอีกอย่างหนึ่งที่นอกเหนือจากค่ากำลังไฟฟ้าเฉลี่ยสูงสุดจะขึ้นอยู่กับค่าความต้านทานของตัวต้านทานแล้ว ก็คือความสูงชันหรือความแหลมคมของเส้นกราฟก็จะขึ้นอยู่กับค่าความต้านทานตัวย่ำนัก หากค่าความต้านทานสูงเส้นกราฟก็จะมีความสูงชันหรือความแหลมคมน้อยกว่าค่าความต้านทานต่ำ

2.6 อินเวอร์เตอร์ [5]

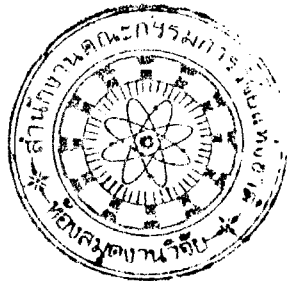
อินเวอร์เตอร์เป็นวงจรที่ใช้ในการแปลงไฟกระแสตรงให้เป็นไฟกระแสสลับความถี่สูง จากที่กล่าวมาแล้วໂ Holden เด啊หุ่งต้มเหนี่ยวนำเป็นวงจร Holden Rizosn แบบอนุกรมโดยมีวงจรอินเวอร์เตอร์จ่ายกำลังไฟฟ้าให้ ในที่นี้จะกล่าวถึงเฉพาะวงจรอินเวอร์เตอร์แบบฟูลบริดจ์และฮาล์ฟบริดจ์ ซึ่งมีข้อแตกต่างกันดังรูปที่ 2.14 (g) และ 2.14 (x) ตามลำดับ สำหรับวงจรอินเวอร์เตอร์แบบ ฟูลบริดจ์ดังรูปที่ 2.14 (g) จะมีคู่สวิตช์ S1,S4 และ S2,S3 ทำงานสลับกันเพื่อแปลงไฟกระแสตรงให้เป็นกระแสสลับความถี่สูง เมื่อวัดแรงดันเอาต์พุตของอินเวอร์เตอร์ (V_{AB}) จะได้รูปคลื่นสี่เหลี่ยมที่มีแรงดันสูงสุดเท่ากับ $+Vd$ และแรงดันต่ำสุดเท่ากับ $-Vd$ และกระแสไฟหล่อผ่านໂ Holden (i_L) เป็นรูปคลื่นไอน์เด็นต์รูปที่ 2.15 (g) ส่วนวงจรอินเวอร์เตอร์แบบฮาล์ฟบริดจ์ดังรูปที่ 2.14 (x) ทำหน้าที่เหมือนกับวงจรฟูลบริดจ์อินเวอร์เตอร์ แต่จะมีสวิตช์ S1,S2 ทำงานสลับกัน เมื่อวัดแรงดันตากร่องสวิตช์ (V_{r1}) และ (V_{r2}) จะได้ค่าแรงดันสูงสุดเท่ากับ $+Vd/2$ และค่าแรงดันต่ำสุดเท่ากับ $-Vd/2$ และกระแสไฟหล่อผ่านໂ Holden (i_L) เป็นรูปคลื่นไอน์เด็นต์รูปที่ 2.15 (x) จะเห็นได้ว่าวงจรฮาล์ฟบริดจ์อินเวอร์เตอร์มีแรงดันตากร่องໂ Holden และกระแสไฟหล่อผ่านໂ Holden เป็นครึ่งหนึ่งของวงจรฟูลบริดจ์อินเวอร์เตอร์

$$P = \frac{V^2}{R} \quad (2.22)$$

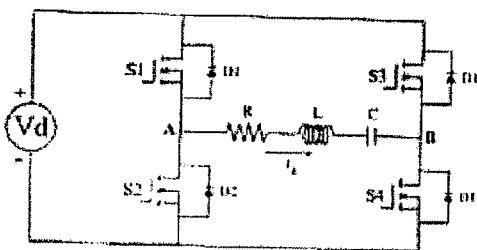
$$\text{จะได้ว่า} \quad P_h = \frac{(V/2)^2}{R} \quad (2.23)$$

$$\text{จดหมายใหม่ได้เป็น} \quad P_h = \frac{V^2 / R}{4} \quad (2.24)$$

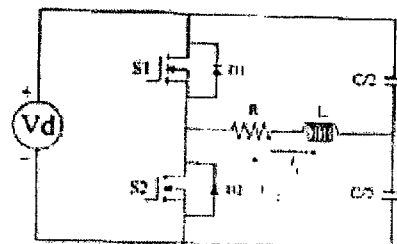
โดยที่ P คือ กำลังไฟฟ้าของวงจรฟูลบридจ์อินเวอร์เตอร์
 P_h คือ กำลังไฟฟ้าของวงจรฮาล์ฟบридจ์อินเวอร์เตอร์
 V คือ แรงดันตกคร้อมโหลด
 R คือ ค่าความต้านทานของโหลด



ดังนั้นกำลังไฟฟ้าของวงจรฟูลบридจ์อินเวอร์เตอร์จะมากกว่าวงจรฮาล์ฟบридจ์อินเวอร์เตอร์เป็น 4 เท่าตัวดังแสดงในสมการที่ (2.24) จะเห็นว่าฟูลบридจ์อินเวอร์เตอร์ให้กำลังไฟฟ้าได้มาก ซึ่งจะต้องรับแรงดัน และกระแสที่มีปริมาณมากได้ แต่ด้วยพิกัดกำลังไฟฟ้าที่ออกแบบ โครงการวิจัยนี้จึงเลือกใช้อินเวอร์เตอร์ชนิด ฮาล์ฟบридจ์กับเตาหุงต้มโดยที่ขดลวดเหนี่ยวนำจะถูกจำกัดเนื่องจากกระแสไฟฟ้าที่ขดลวดให้มีขนาดเท่ากับกันของ ภาคชนะทุกตัว

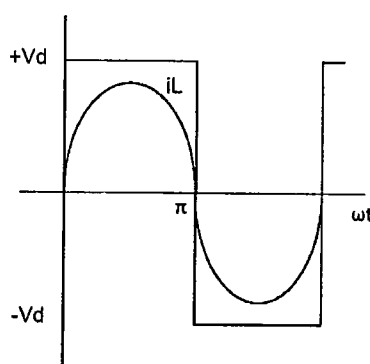


(g) อินเวอร์เตอร์แบบฟูลบридจ์

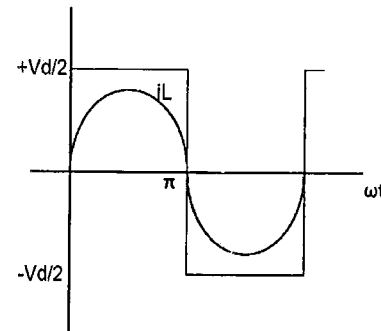


(h) อินเวอร์เตอร์แบบฮาล์ฟบридจ์

รูปที่ 2.14 วงจรอินเวอร์เตอร์เรโซแนนซ์แบบฟูลบридจ์และแบบฮาล์ฟบридจ์ [5]



(g) อินเวอร์เตอร์แบบฟูลบридจ์



(h) อินเวอร์เตอร์แบบฮาล์ฟบридจ์

รูปที่ 2.15 รูปคลื่นแรงดันและกระแสเอาต์พุตอินเวอร์เตอร์เรโซแนนซ์แบบฟูลบридจ์และแบบฮาล์ฟบридจ์

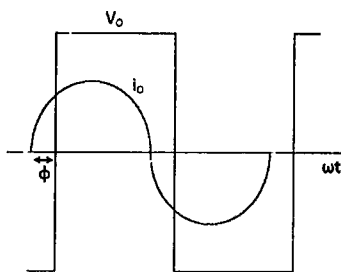
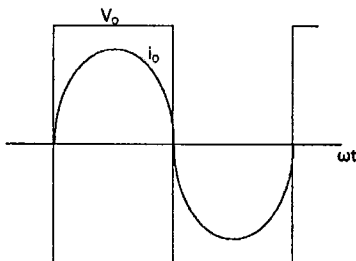
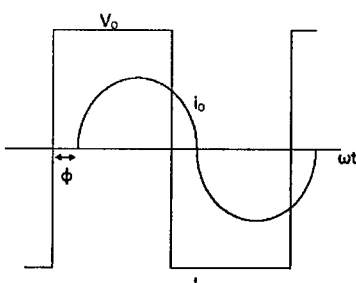
2.7 การควบคุมกำลังไฟฟ้าของอินเวอร์เตอร์เรโซแนนซ์แบบอนุกรม

2.7.1 การควบคุมกำลังไฟฟ้าด้วยวิธีการปรับความถี่ [5]

โครงการวิจัยนี้เลือกใช้การควบคุมอินเวอร์เตอร์แบบปรับความถี่ซึ่งสามารถทำได้ง่าย การควบคุม กำลังไฟฟ้าในกรณีนี้ ทำได้โดยปรับความถี่สวิตชิ่ง (f_s) ของวงจรอินเวอร์เตอร์ โดยจะได้ลักษณะรูปคลื่น แรงดันและกระแสที่โหลดดังรูปที่ 2.16 ซึ่งจะเห็นได้ว่าความถี่สวิตชิ่งน้อยกว่าหรือมากกว่าความถี่เรโซแนนซ์

ผู้งานกานคนะกรรนการวิจัยแห่งชาติ
ห้องสมุดงานวิจัย
ที่..... - 5. ๓๙. ๒๕๔
เลขทะเบียน..... 241750
เลขเรียกหนังสือ.....

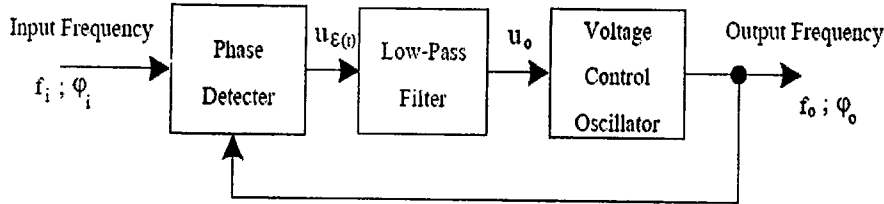
(f) ดังในรูป 2.16 (g) และรูปที่ 2.16 (h) จะได้ปริมาณกระแสที่ลดลง ส่วนที่ความถี่สวิตชิ่งเท่ากับความถี่โซนเนนซ์ดังในรูป 2.16 (x) จะได้กระแสที่มีปริมาณสูงสุด ดังนั้นเมื่อนำมาเขียนเป็นสันกราฟแสดงความสัมพันธ์ระหว่างกำลังไฟฟ้าเอกสาร์พุตของอินเวอร์เตอร์กับความถี่สวิตชิ่งที่เปลี่ยนแปลงจะได้ดังรูปที่ 2.13 ในหัวข้อ 2.5 ซึ่งจะเห็นได้ว่ากำลังไฟฟ้าเอกสาร์พุตของอินเวอร์เตอร์จะมีค่าสูงสุดที่ความถี่สวิตชิ่งเท่ากับความถี่โซนเนนซ์ และจะได้กำลังไฟฟ้าลดลงตามที่ความถี่สวิตชิ่งน้อยกว่าหรือมากกว่าความถี่โซนเนนซ์ การควบคุมกำลังไฟฟ้าด้วยวิธีนี้มีข้อดีคือ ระบบควบคุมไม่ซับซ้อน แต่มีข้อจำกัดคือ จะมีการสูญเสียที่ตัวสวิตช์ และเมื่อปรับความถี่สวิตชิ่งให้มีค่าสูงขึ้น ก็จะทำให้กระแสเพียงไปจากลักษณะรูปคลื่นใช้น้อยมากขึ้น ซึ่งเป็นผลให้มีการมีนิภัยเกิดขึ้น

(g) กรณีที่ $f_s < f_r$ (h) กรณีที่ $f_s = f_r$ (k) กรณีที่ $f_s > f_r$

รูปที่ 2.16 รูปคลื่นแรงดันและกระแสเอกสาร์พุตอินเวอร์เตอร์ที่ความถี่สวิตชิ่งต่างๆ

2.7.2 การปรับความถี่โดยใช้หลักการทำงานของเฟสล็อกลูป [10]

เฟสล็อกลูปเป็นระบบควบคุมความถี่ โดยใช้วิธีเปรียบเทียบเฟสของความถี่ทางด้านเอกสาร์พุตกับเฟสของความถี่อ้างอิงซึ่งถูกป้อนเข้าทางด้านอินพุตของระบบ ซึ่งสามารถแสดงเป็นแผนผังดังรูปที่ 2.17



รูปที่ 2.17 แผนผังของเฟสล็อกลูป

จากรูปที่ 2.17 เฟสล็อกลูปประกอบด้วย 3 ส่วนใหญ่ๆ คือ

- 1) ภาคตรวจจับเฟส (Phase Detector) มีหน้าที่เปรียบเทียบความแตกต่างของเฟสระหว่าง φ_i และ φ_o ให้กำเนิดแรงดันคลาดเคลื่อน u_ε ออกแบบอาจเรียกว่า “อินพุต”

$$u_\varepsilon(t) = K_\varphi(\varphi_i - \varphi_o) \quad (2.25)$$

- 2) ภาคกรองความถี่ต่ำผ่านหรือภาคกรองความถี่ลูป (Low-Pass Filter หรือ Loop Filter) ทำหน้าที่กำจัดส่วนประกอบทางไฟสั่นที่ปะปนมากับแรงดันคลาดเคลื่อน และปล่อยให้ส่วนประกอบทางไฟตรงของแรงดันคลาดเคลื่อนผ่านไปยังเอาต์พุต

$$u_o = \frac{1}{T} \int_0^T u_\varepsilon(t) dt \quad (2.26)$$

3. ภาคกำเนิดสัญญาณควบคุมด้วยแรงดัน (Voltage Controlled Oscillator, VCO) ความถี่ f_o ของ VCO จะเปลี่ยนไปตามแรงดัน U_o ทางอินพุต ดังนั้นเมื่อ U_o เปลี่ยนไปก็จะมีผลทำให้ f_o และ φ_o เปลี่ยนแปลงตามไปด้วย

$$f_o = K_f U_o \quad (2.27)$$

ในระบบเฟสล็อกลูป ขนาดของแรงดันคลาดเคลื่อนที่ได้จากการตรวจจับเฟสจะแปรผันเป็นสัดส่วนโดยตรงกับผลต่างของ $f_i - f_o$ และ $\varphi_i - \varphi_o$ แรงดันคลาดเคลื่อนนี้จะไปควบคุมให้การเปลี่ยนแปลงของ f_o ของ VCO เป็นไปในทิศทางที่ทำให้ผลต่างของความถี่ $f_i - f_o$ มีขนาดลดลง นั่นคือ f_o จะมีค่าเข้าใกล้ f_i มากขึ้น เราเรียกภาวะของลูปในขณะที่ VCO เริ่มเปลี่ยนความถี่ f_o ว่า “แคปเจอร์” เมื่อ f_o มีค่าเท่ากับ f_i การเปลี่ยนแปลงของ f_o ก็สิ้นสุดลง เราเรียกภาวะนี้ว่า “เฟสล็อก”

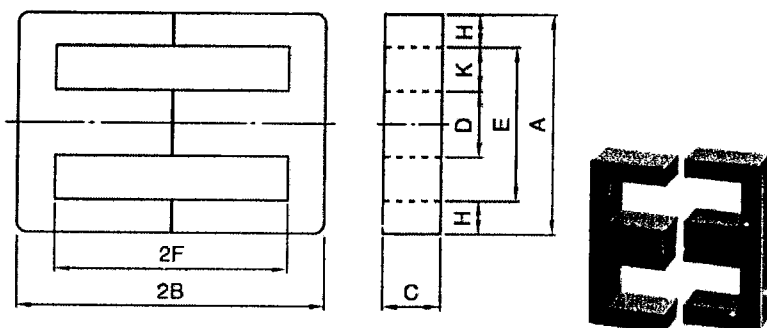
2.8 หม้อแปลงแยกโดด

หม้อแปลงแยกโดดมีหน้าที่หลักในการแยกโหลดรีโซแนนซ์และวงจรอินเวอร์เตอร์ออกจากกัน เพื่อป้องกันห้องสองส่วนในกรณีที่เกิดการลัดวงจร ไม่ให้เกิดความเสียหายได้ และยังมีหน้าที่ลดทอนแรงดันไฟฟ้าที่ได้จากการอินเวอร์เตอร์ไว้ต่ำลง เพื่อให้ได้กระแสไฟฟ้าเอาต์พุตของหม้อแปลงที่จะจ่ายให้โหลดเพิ่มมากขึ้น

2.8.1 ส่วนประกอบที่สำคัญของหม้อแปลงแยกโดย

1) แกนเฟอร์ไรต์ [11] เฟอร์ไรต์เป็นวัสดุประเภทเฟอร์โรแมกเนติก (Ferromagnetic material) การเห็นยาน้ำแม่เหล็กบนแกนเฟอร์ไรต์มีผลทำให้เกิดความหนาแน่นฟลักซ์แม่เหล็กสูงกว่าการเห็นยาน้ำแม่เหล็กที่เกิดบนแกนอะคามาก เฟอร์ไรต์มีค่าจุดอิมตัวฟลักซ์แม่เหล็กค่อนข้างสูง ประมาณ 0.2 เทสลา และเกิดการสูญเสียภายในตัวต่ำที่ความถี่สูงๆ ดังนั้นโครงการวิจัยนี้จึงเลือกใช้แกนแม่เหล็กเฟอร์ไรต์ในการออกแบบหม้อแปลง

แกนเฟอร์ไรต์โดยทั่วไปจะถูกผลิตออกแบบที่ขนาดและรูปทรงต่างๆ ตามมาตรฐาน เช่น แกนแบบ EI, EE, ETD เป็นต้น ปกติผู้ผลิตจะทำแกนเฟอร์ไรต์ออกแบบในลักษณะคู่ประกอน เพื่อความสะดวกในการประกอบ เช้ากับบอร์ดบันนิ้น การประกอบแกนเฟอร์ไรต์เข้ากับบอร์ดบันนิ้นจะทำให้ห่างเดินของฟลักซ์แม่เหล็กที่เกิดขึ้นในแกน เฟอร์ไรต์ มีลักษณะเป็นวงบรรจบได้ แกนที่นิยมใช้กันมาก คือ แบบ EE, EI และ ETD เนื่องจากสามารถพันขดลวดรอบแกนบนบอร์ดบันนิ้นได้สะดวก ซึ่งแกนในกลุ่มนี้จะมีขนาดให้เลือกใช้งานเป็นจำนวนมาก และโครงการวิจัยนี้เลือกใช้แกน EE80 ซึ่งเป็นแกนหม้อแปลงเฟอร์ไรต์ที่เหมาะสมกับการใช้งานที่ความถี่สูง



รูปที่ 2.18 ขนาดแกนหม้อแปลงเฟอร์ไรต์ EE

2) บอร์ดบันนิ้น บอร์ดบันนิ้นหรือแบบบรรจุพัน ปกติจะทำจากพลาสติกชนิดทนความร้อนสูงและไม่ติดไฟ บอร์ดบันนิ้นจะช่วยให้การรองพันขดลวดบนแกนเฟอร์ไรต์สะดวกขึ้นและป้องกันปัญหาการลัดวงจรกับแกนเฟอร์ไรต์ได้

3) ลวดทองแดงอวนน้ำยา การพันขดลวดทั้งปฐมภูมิและทุติยภูมิของหม้อแปลงแยกโดยที่กำลังไม่สูงมากนัก ปกติจะใช้ขดลวดทองแดงอวนน้ำยาพันบนแกนบอร์ดบันนิ้นเพื่อให้ได้จำนวนรอบตามต้องการ ขนาดของขดลวดที่จะใช้พันนั้นขึ้นอยู่กับค่ากระแสสูงสุดที่ผ่านขดลวด ความถี่และผลลัพธ์ทางเคียงอื่นๆ ด้วย

4) เทปฉนวน ใช้พันสำหรับเป็นตัวรองระหว่างชั้นของขดลวดในหม้อแปลง และมีหน้าที่สำคัญในการแยกส่วนทางไฟฟาระหว่างขดลวดปฐมภูมิและขดลวดทุติยภูมิ วัสดุที่ใช้ทำเทปฉนวนอาจเป็นพลาสติก หรือโพลีเอสเตอร์ที่มีความหนาอยู่ในช่วง 0.05-0.1 มิลลิเมตร

2.8.2 การออกแบบหม้อแปลงไฟฟ้าความถี่สูง [11]

1) กำหนดค่ากำลังไฟฟ้า ในส่วนนี้จะต้องกำหนดกำลังไฟฟ้าด้านทุติยภูมิของหม้อแปลงไฟฟ้าที่ต้องการ

$$P_o = (V_o + V_{rl})I_o \quad (2.28)$$

โดยที่ P_o คือ กำลังไฟฟ้าด้านทุติยภูมิ (W)

V_o คือ แรงดันด้านออก (V)

V_o คือ แรงดันต่อกรุ่มเนื่องจากผลของความต้านทานในชุดลวดแม่ปั๊บคิดเป็น 10%
ของแรงดันด้านนอก (V)
 I_o คือ กระแสด้านทุติยภูมิ (A)

2) การเลือกแกนแม่เหล็ก โดยผู้ออกแบบสามารถเลือกขนาดของแกนแม่เหล็กก่อน ซึ่งสามารถคำนวณได้ด้วยวิธีผลคูณพื้น

$$A_p = A_c A_w = \frac{P_o \left(\sqrt{2} + \frac{1}{\eta} \right)}{4 J K_w B_m f_s} \quad (2.29)$$

โดยที่ A_p คือ ผลคูณพื้นที่ (mm^4)
 A_c คือ พื้นที่หน้าตัดของแกน (mm^2)
 A_w คือ พื้นที่ภายในกรอบว่างของแกน (mm^2)
 B_m คือ ค่าความหนาแน่นเส้นแรงแม่เหล็ก (0.2 T)
 J คือ ค่าความหนาแน่นกระแส (3 A/mm^2)
 K_w คือ ค่า window utilization factor (มีค่า 0.4)
 η คือ ประสิทธิภาพของแม่ปั๊บ (มีค่า 0.8)
 f_s คือ ความถี่สั่นสะเทือน (Hz)

3) การคำนวณจำนวนรอบในการพัน สามารถหาจำนวนรอบด้านปฐมภูมิได้เท่ากับ

$$N_1 = \frac{V_{SS,\max}}{4 A_c B_m f_s} \quad (2.30)$$

จากสูตรอัตราส่วนหม้อแปลงไฟฟ้าจะได้

$$V' = V_o + V_r + V_D \quad (2.31)$$

$$n = \frac{N_2}{N_1} = \frac{V'}{V_{SS,\min} (2 D_{\max})} \quad (2.32)$$

โดยที่ N_1 คือ จำนวนรอบของชุดลวดด้านปฐมภูมิ
 N_2 คือ จำนวนรอบของชุดลวดด้านทุติยภูมิ
 $V_{SS,\max}$ คือ ค่าแรงดันสูงสุดของแหล่งจ่ายไฟ
 A_c คือ พื้นที่หน้าตัดของแกนเฟอร์เรต
 A_w คือ พื้นที่ภายในกรอบว่างของแกนเฟอร์เรต
 B_m คือ ค่าความหนาแน่นเส้นแรงแม่เหล็ก 0.2 เทสลา
 f_s คือ ค่าความถี่สั่นสะเทือน

$V_{SS,min}$	คือ แรงดันไฟฟ้าด้านเข้าต่ำสุด
D_{max}	คือ ค่าดิวตี้ไซเคิลสูงสุด
V_H	คือ ค่าแรงดันไฟฟ้าต่ำคร่อมความด้านทานในขดลวด
V_D	คือ แรงดันตกคร่อมไดโอดด้านทุติยภูมิ
n	คือ อัตราส่วนหม้อแปลงไฟฟ้า

4) การเลือกขนาดขดลวด ค่ารากกำลังสองเฉลี่ยของกระแสไฟฟ้าจะมีค่าเท่ากับ

$$I_2 = I_o \sqrt{D_{max}} \quad (2.33)$$

$$I_1 = nI_o \quad (2.34)$$

สำหรับการเลือกขนาดของขดลวดจะหาได้จากสมการ

$$a_1 = \frac{I_1}{J} \text{ และ } a_2 = \frac{I_2}{J} \quad (2.35)$$

โดยที่	a_1 คือ พื้นที่หน้าตัดของขดลวดด้านปฐมภูมิ
	a_2 คือ พื้นที่หน้าตัดของขดลวดด้านทุติยภูมิ
	J คือ ค่าความหนาแน่นกระแส มีค่าประมาณ 3 A/mm^2
	I_1 คือ ค่ารากกำลังสองเฉลี่ยของกระแสปฐมภูมิ
	I_2 คือ ค่ารากกำลังสองเฉลี่ยของกระแสทุติยภูมิ
	I_o คือ กระแสด้านออก

จะต้องทำการเลือกพื้นที่หน้าตัดของขดลวดให้มีค่ามากกว่าค่าที่ได้จากการคำนวณ

5) การตรวจสอบ

$$A_w K_w \geq \sum_{i=1}^m a_i N_i \quad (2.36)$$

โดยที่	A_w คือ พื้นที่ภายในกรอบว่างของแกน
	K_w คือ ค่า window utilization factor มีค่าเท่ากับ 0.6

ถ้าเป็นไปตามเงื่อนไขแสดงว่าสามารถพันขดลวดลงพื้นที่หน้าต่างของแกนแม่เหล็กของบริษัทผู้ผลิตได้พอดี

2.8.3 การกำหนดขนาดของขดลวดที่นำมาใช้พัน [11]

ปกติการพันขดลวดหม้อแปลงจะใช้ลวดตอบน้ำยามาใช้ในการพัน ซึ่งในขณะที่หม้อแปลงทำงานกระแสไฟฟ้าที่ไหลผ่านขดลวดนั้นมีความถี่สูง และที่ความถี่สูงๆ นี้จะทำให้ลวดทองแดงนำกระแสได้เพียงที่พิว มีผลทำให้พื้นที่หน้าตัดในการนำกระแสของลวดทองแดงลดลง การสูญเสียในขดลวดจะมีมากขึ้นรวมทั้ง

การเรียงชั้อนของขดลวดทำให้เกิดการสูญเสียขึ้นในขดลวดเช่นกัน กำลังงานที่สูญเสียเหล่านี้จะทำให้ขดลวดร้อน ซึ่งเป็นสิ่งที่เราไม่ต้องการให้เกิดขึ้น จะนั่นเองท้องดำเนินการพัฒนาและวิธีการพัฒนาขดลวดทองแดงให้เหมาะสม เพื่อลดการสูญเสียในขดลวดทองแดงให้มีค่าน้อยที่สุด ซึ่งควรพิจารณาจากสาเหตุต่างๆ ดังนี้

1) ผลกระทบจากการเปลี่ยนผิวของทองแดง (Skin effect) ขดลวดทองแดงเมื่อมีกระแสไฟฟ้าไหลผ่านจะเกิดสนามแม่เหล็กให้ความอยู่ภายในและรอบๆ ตัวขดลวดทองแดง สนามแม่เหล็กที่เกิดขึ้นจะเหนี่ยวแน่ให้กระแสไฟวนเข้าภายในตัวขดลวดทองแดงอีกทอดหนึ่ง การให้ความของกระแสไฟมีผลทำให้กระแสปกติไหลได้เฉพาะที่ผิวของขดลวดทองแดง ซึ่งการแก้ปัญหานี้นิยมใช้ขดลวดทองแดงที่มีพื้นที่หน้าตัดเท่ากับความหนาของผิวตัวนำทางแดงจำนวนหลายๆ เส้น โดยที่แต่ละเส้นจะแยกจนวนและนำมาตีเกลียวรวมกันจนได้เส้นผ่าศูนย์กลางเท่ากับตัวนำทางแดงแบบดัน

$$\text{Skin depth, } \Delta = \frac{75}{\sqrt{f_s}} \text{ mm} \quad (2.37)$$

โดยที่ f_s คือ ค่าความถี่สวิตซ์

2) ผลกระทบของการเรียงชั้อนของขดลวด ปกติค่าความซึมซาบแม่เหล็กของแกนเฟอร์ไรร์จะมีค่าสูงมาก แกนจะจับฟลักซ์แม่เหล็กที่เกิดจากการเหนี่ยวแน่ของขดลวดในหม้อแปลงให้วิ่งอยู่ภายในแกนเฟอร์ไรร์ เท่านั้น แต่โดยความเป็นจริงแล้วยังมีฟลักซ์บางส่วนสามารถวิ่งออกจากแกนตัดผ่านขดลวดได้ ฟลักซ์เหล่านี้เรียกว่า ฟลักซ์รั่ว (Leakage Flux) ซึ่งฟลักซ์รั่วนี้เกิดขึ้นจากการพัฒนาขดลวดโดยตรง

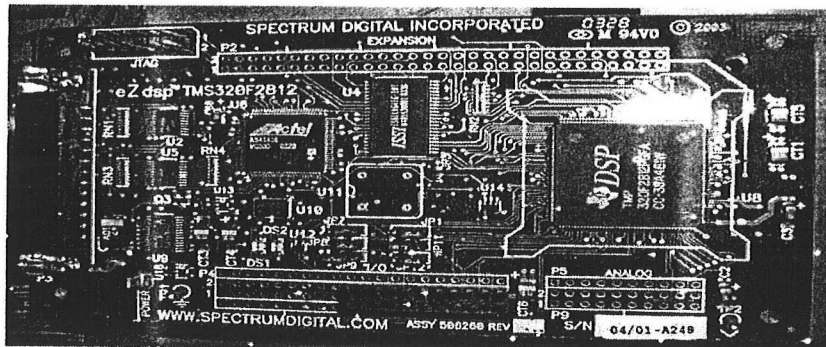
2.9 ตัวประมวลผลสัญญาณดิจิตอล TMS320F2812 [12]

โครงการวิจัยนี้เลือกใช้ตัวประมวลผลสัญญาณดิจิตอลเบอร์ TMS320F2812 ซึ่งมีคุณลักษณะดังต่อไปนี้

- สร้างโดยใช้เทคโนโลยี High-Performance Static CMOS มีความเร็วสัญญาณนาฬิกา 150 MHz หรือ 6.67 ns ต่อหนึ่งรอบสัญญาณนาฬิกา
- หน่วยประมวลผลกลางประสิทธิภาพสูงขนาด 32 บิต ใช้สถาปัตยกรรมบัสแบบไฮวาร์ด (Harvard Bus Architecture) ปฏิบัติการแบบ 16x16 และ 32x32
- มีกระบวนการตอบสนองอินเตอร์รัพท์ที่รวดเร็ว
- หน่วยความจำชนิด SARAM และ Flash ขนาด 128K × 16 บิต (แบ่งเป็น 8K×16 สี่ต่อนและ 16K×16 หกต่อน)
- มี Boot ROM ขนาด 4K × 16 ภายในบรรจุ Software Boot Mode และตารางทางคณิตศาสตร์
- ตัวแปลงสัญญาณอนาลอกเป็นดิจิตอลความละเอียด 12 บิตจำนวน 16 ช่องสัญญาณอินพุต
- ลักษณะเป็นแบบมัลติเพล็กซ์ 2 ชุดๆ ละ 8 ช่องสัญญาณสามารถแปลงสัญญาณเพียงช่องเดียว หรือทุกช่องพร้อมกันได้ ซึ่งใช้เวลาในการแปลงสัญญาณเพียงช่องเดียวหรือทุกช่องพร้อมกันได้ซึ่งใช้เวลาในการแปลงสัญญาณเพียง 80 ns ต่อ 1 ครั้ง
- มี Event Manager จำนวน 2 ชุดคือ EVA และ EVB
- ตัวนับขนาด 32 บิต 3 ชุด
- อินพุต / เอาต์พุต พอร์ต 56 ช่อง

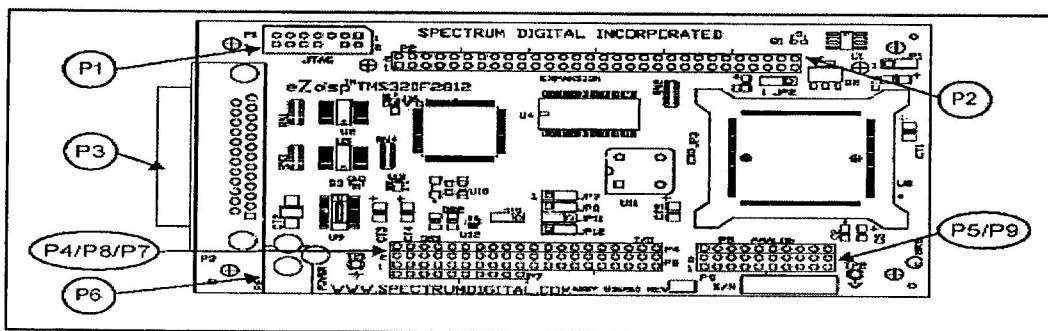
- ชุดติดต่อสื่อสารแบบอนุกรม รองรับสัญญาณอินเตอร์พาร์ทจากอุปกรณ์รอบข้างจำนวน 45 แหล่ง
สามารถติดต่อกับอุปกรณ์ภายนอกได้

ตัวประมวลผลสัญญาณดิจิตอลประกอบอยู่บนบอร์ด eZdsp F2812 ดังรูปที่ 2.19



รูปที่ 2.19 บอร์ด eZdsp F2812

บอร์ด eZdsp F2812 [13] มีรายละเอียดของจุดเชื่อมต่อดังรูปที่ 2.20 ส่วนประกอบพังก์ชันต่างๆ แสดงในตารางที่ 2.2



รูปที่ 2.20 จุดเชื่อมต่อของบอร์ด eZdsp F2812

ตารางที่ 2.2 พังก์ชันของจุดเชื่อมต่อนบนบอร์ด eZdsp F2812

Connector	Function
P1	JTAG Interface
P2	Expansion
P3	Parallel Port / JTAG Controller Interface
P4/P7/P8	I/O Interface
P5/P9	Analog Interface
P6	Power Connector